

進行低気圧に依る高潮(二)

山田, 彦兒
九州帝國大學流體工學研究所

<https://doi.org/10.15017/7153221>

出版情報 : 流體工學研究所報告. 3 (2), pp.81-108, 1946-09. Research Institute for Fluid Engineering, Kyushu Imperial University

バージョン :

権利関係 :



進行低気圧に依る高潮(二)

所 負 山 田 彦 児

(昭和二十一年七月二十日受理)

§ 1. 定常随伴潮位の計算

前一報に於て見た如く、高潮は随伴潮波とその反射波から合成されてゐるのであるから、計算高潮の正確度にあつては就一つの目安を得る為には、随伴潮波の計算が reasonable であるか否かを吟味すれば良い。それ故以下に於て稍々詳細に之を行ふ事とする。

粘性を考慮した際の随伴潮位は [I(25)] で與へられ⁽¹⁾、特に [I(27)] の低気圧表現を採用するならば、若干の書換之後に

$$\zeta = \frac{1}{2\pi} \int_{-\infty}^{\infty} \bar{\zeta} e^{i\alpha x} d\alpha = \frac{1}{2\pi i} \int_{-i\infty}^{i\infty} \frac{2AB}{B^2 - Z^2} \frac{1 - \frac{\tan \sqrt{Z}}{\sqrt{Z}}}{\sigma^2 - 1 + \frac{\tan \sqrt{Z}}{\sqrt{Z}}} e^{\frac{\alpha Z}{B} Z} dZ$$

$$u = \frac{1}{2\pi} \int_{-\infty}^{\infty} \bar{u} e^{i\alpha x} d\alpha = \frac{V}{h} \frac{1}{2\pi i} \int_{-i\infty}^{i\infty} \frac{2AB}{B^2 - Z^2} \frac{1 - \cos(\eta \sqrt{Z}) / \cos \sqrt{Z}}{\sigma^2 - 1 + \frac{\tan \sqrt{Z}}{\sqrt{Z}}} e^{\frac{\alpha Z}{B} Z} dZ$$

$$\eta = (\text{水深})/h; \quad \sigma = \sqrt{gh}, \quad B = a\gamma = \frac{Vh}{V} \quad (2)$$

が得られる事は容易に見られる如くである⁽²⁾。

(1) [I(25)] は前一報(25)式を意味する。以下同様

(2) (1)式を見るに ζ, u 共に二つの無名数 σ, B に依つて特性付けられる。 σ は Disturbance 速度と長波速度の比であつて、圧縮流体のマッハ数に類似し、 B はレイノルズ数 (或意味に於て) と Disturbance の scale (ratio) の積であつて、白流に於けるテイラー数に類似を持つ。此の類似は單なる表面的なものとの意味を持つであらう。

(3) の複素積分を行ふに當つて、両式共に被積分函数の極は $Z = \pm B$ と、及び $\tan \sqrt{Z}/\sqrt{Z} = 1 - \sigma^2$ から出る無限個の單純極のみである事に注目する。そして後者は、 \sqrt{Z} 平面に於ては、実軸上正負両側に對稱的に存在する無限個と、又 $\sigma^2 < 1$ の際には更に虚軸上上下對稱に存在する一対のから成るけれども、 Z 平面としては、実軸上正の側に存在する無限個 $\alpha_1, \alpha_2, \dots$ と、 $\sigma^2 < 1$ に際しては更に負の側に存在する α_0 とから成つて、何れも單純極である。その任意の一つを α_m とし、 $Z = \alpha_m + \xi$ を代入して α_m の周りに展開すれば、

$$(\sigma^2 - 1 + \tan \sqrt{Z}/\sqrt{Z})^{-1} = \frac{2\alpha_m}{\sec \sqrt{\alpha_m} - 1 + \sigma^2} \cdot \frac{1}{\xi} = \frac{2\alpha_m}{\sigma^2 + \alpha_m(1 - \sigma^2)^2} \cdot \frac{1}{\xi} \quad (3)$$

を得る。従つて [I 85] の積分方法をそのまま利用して

(1) $X > 0$:

$$\zeta = \frac{1 - \tanh \sqrt{B}/\sqrt{B}}{\sigma^2 - 1 + \tanh \sqrt{B}/\sqrt{B}} A e^{-aX} + \left\{ \begin{array}{l} 0 \quad (\sigma^2 \geq 1) \\ 4\sigma^2 \frac{|a_0|/B}{(\alpha_0/B)^2 - 1} \frac{1}{\sigma^2 - |a_0|(1 - \sigma^2)^2} A e^{-\frac{|a_0|}{B} a X} \quad (\sigma < 1) \end{array} \right. \quad (4)$$

$$u = \frac{V}{h} \frac{1 - \cosh(\sqrt{B}\eta)/\cosh \sqrt{B}}{\sigma^2 - 1 + \tanh \sqrt{B}/\sqrt{B}} A e^{-aX} + \left\{ \begin{array}{l} 0 \quad (\sigma^2 \geq 1) \\ 4 \frac{V}{h} \frac{|a_0|/B}{(\alpha_0/B)^2 - 1} \frac{1 - \cosh(\sqrt{|a_0|}\eta)}{\cosh \sqrt{|a_0|}} A e^{-\frac{|a_0|}{B} a X} \quad (\sigma < 1) \end{array} \right. \quad (4)$$

(2) $X < 0$:

$$\zeta = \frac{1 - \tan \sqrt{B}/\sqrt{B}}{\sigma^2 - 1 + \tan \sqrt{B}/\sqrt{B}} A e^{aX} + 4\sigma^2 \sum_{m=1}^{\infty} \frac{\alpha_m/B}{(\alpha_m/B)^2 - 1} \frac{1}{\sigma^2 + \alpha_m(1 - \sigma^2)^2} A e^{-\frac{\alpha_m}{B} a X}$$

$$u = \frac{V}{h} \frac{1 - \cos(\sqrt{B}\eta)/\cos \sqrt{B}}{\sigma^2 - 1 + \tan \sqrt{B}/\sqrt{B}} A e^{aX} + 4 \frac{V}{h} \sum_{m=1}^{\infty} \frac{\alpha_m/B}{(\alpha_m/B)^2 - 1} \frac{1 - \cos(\sqrt{\alpha_m}\eta)}{\cos \sqrt{\alpha_m}} A e^{-\frac{\alpha_m}{B} a X} \quad (5)$$

として随伴潮位が表はされているのである。

そこで此の潮位を数値的に吟味するのであるが、此の場合には尤も根の値を求める必要があり、その若干のものは才五表に見る如くであるとして之等の根を(4),(5)式に用いて潮位 ζ/A と水平流速 $u/A \frac{y}{H}$ を計算したものが才六乃至才八表の甲及び乙であつて⁽³⁾、更に之を回示したものが才一乃至才四表の甲(実線)及び乙である⁽³⁾。其等の計算式は簡單の爲に此處には列擧しないが、計算した場合は次の如くである。

(1) ζ/A :

$$\sigma^2 = 0.5 : B = 1, 3.66723, 4, 16, 100, 625, \infty$$

$$\sigma^2 = 1.0 : B = 0.729^{(4)}, 4, 7.29^{(4)}, 16, \infty$$

$$\sigma^2 = 2.0 : B = 1, 4, 4.11587, 16, 100, 625, \infty$$

(2) $u/A \frac{y}{H}$:

$$\sigma^2 = 0.5, B = 16; \sigma^2 = 1.0, B = 4; \sigma^2 = 2.0, B = 4$$

才一、三、四表に就ては一言の註釋を必要とする。此等のグラフを見るに、随伴潮位は低氣圧中心に於て鋭い尖りを持つのであるが、之は practical に尖つてゐると了解すべきであつて、数学的な尖点を意味するものではない。

(3) 之等の諸表並に諸國に本尾に掲載されている甲表中の氣線に就いては後に述べる。

(4) 才一報 才四表の $\nu = 100, \nu = 1000$ の場合の再録に外ならない。

(5) 此の不備の値は既に [I §5] に於て用いたものである。

数式に現れた此の附近の模様を精しく見る為に、一例として $\sigma^2 = 0.5$

$B = 1$ の場合を採った。次の第九表及び第十回丙が之であつて、

第五表⁽⁵⁾

σ^2	d_0	d_1	d_2	d_3	d_4	d_5	d_6	d_7	d_8	d_9
0.5	-366723	18.28	57.70	116.9	196.0	294.5	412.9	551.3	709.2	886.8
0.8	-25.000	14.36	52.56	111.3	191.8	270.4				
1.0	—	π^2	$(2\pi)^2$	$(3\pi)^2$	$(4\pi)^2$	$(5\pi)^2$	$(6\pi)^2$	$(7\pi)^2$	$(8\pi)^2$	$(9\pi)^2$
1.3	—	6.2420	27.84	67.86	127.2	206.5	305.2			
2.0	—	4.11587	24.15	63.65	123.0	201.9	301.7	419.0	557.0	715.0

水面傾斜が低氣圧の(数学的に尖つた)谷の前後に移變に行く模様を見る事が出来る。第十回乃至第十四回の甲に於てはR度の粗大な為には此の性質が蔽はれておるのであるが、一方實際上尖つておると見做して大きな誤差はないのであるから、その附近を一一精査する事とす。

第九表

$\alpha \pi$	$C/-A$
-0.060	0.48915
-0.060	0.49262
-0.040	0.49582
-0.030	0.49863
-0.020	0.50089
-0.015	0.50176
-0.010	0.50236
-0.005	0.50258
-0.002	0.50248
0.000	0.50221
0.001	0.49795
0.002	0.49370
0.005	0.48107
0.010	0.46038
0.030	0.38189
0.050	0.30985

§2. 定常隨伴潮位の吟味(1).

粘性の影響

吟味の第一には粘性を取り上げる。粘性の影響は常数Bを通じて現はれる。B=∞が完全流体に當り、Bが小さい程渦動粘性は大きい。従つて粘性のみの影響を見る為には、 σ を一定に保つてBの種々

の値に對する S/A のグラフを吟味すれば良い。最初^(a)に目につくその影響は、粘性が完全流体と見做した際の潮位を全く変貌する事である。即ち $\sigma < 1$, $\sigma > 1$ に従つて、全域に亘つて、高潮又は低潮を共に生ずる。 $\sigma < 1$ に於ては、低潮が前面に現れて本来の高潮が之に續くが、この前面低潮は粘性と共に増大し或極限に達し、更に大きい粘性に於て減くなる。然し同時に粘性と共に高潮の山が低下して来るから、谷の深さと山の高さの比は單調に増大する。尚山の位置が低氣圧中心に一致する事は既に見た如くであるが^(b)、谷の位置も粘性の増大と共に(前面から)中心に近づいて来る。 $\sigma > 1$ の際の潮位の姿は $\sigma < 1$ の場合とその前後高低を全く逆にする。即ち低氣圧前面に低潮を伴つてその谷が低氣圧中心に一致する事完全流体と同一であるが、後部に入つて高潮に變じ、その山は粘性と共に中心部に(後方から)近づく、その高さは或極限に達した後又低下する。 $\sigma = 1$ の場合は第一報末尾で取扱つた場合であるが、亦三回に見る如く、その型は $\sigma > 1$ と全く同一である。之は粘性が波動速度を減少すると云ふ一般的事實から見て当然首肯せられる事であらう。

(b) 此の山の位置が低氣圧中心から外れる場合の例も後に見る。

此處で、Resonance 無限大が粘性の存在(特にその数式への取入れ方)に依り全く除去せられるか否か、どこかに計算順位が異常を呈する場合が残るのか否か、を吟味すべきである。そこで(4)(5)の表式を見るに ζ が無限大となる疑も生じ得るのは

$$\sigma^2 - 1 + \tan \sqrt{B}/\sqrt{B} = 0 \quad (6)$$

$$\text{及び} \quad (\alpha_m/B)^2 - 1 = 0 \quad m = 1, 2, 3, \dots \quad (6')$$

の場合であり、 $\sigma^2 < 1$ に対しては更に

$$\sigma^2 - 1 + \tan \sqrt{B}/\sqrt{B} = 0 \quad (7)$$

$$\text{及び} \quad (\alpha_0/B)^2 - 1 = 0 \quad (7')$$

の場合が之に加はる⁽⁷⁾。よして α_m の意味から明かす如く、(6) (6') は同一の条件

$$B = \alpha_m \quad (6'')$$

を、又 (7) (7') は同一の条件

$$B = -\alpha_0 \quad (7'')$$

を表はし、即ち ζ を構成する諸項中の二項が對を爲して同時に無限大となるのである。而も此の特一對が互に打消しに異常を呈せぬ事、次の計算に見る如くである。

(1) の ζ の表式に於て $B = \alpha_m$ とすれば、 $\zeta = B (= \alpha_m)$ は double pole となる。それ故 $\alpha < 0$ に於て ζ を求める際此の事を考慮しなけれ

(7) $\sigma^2 - 1 + \tan \sqrt{B}/\sqrt{B} = 0$ となるのは $\sigma^2 = 0$ と $\sigma^2 = 1 - 0$ の場合に復る事は容易に証明し得るから之に依り無限大は生じらぬ。

(87)

ばばらね、この double pole からの寄与のみを取出してとすれば、若干の計算の後

$$\zeta/A = e^{aZ} \left[1 + \frac{\sigma^2}{\Delta} \left\{ \frac{1}{2} - \frac{\sigma^2}{\Delta} + B(1-\sigma^2) - 2aZ \right\} \right] \quad (8)$$

$$\Delta \equiv \sigma^2 + B(1-\sigma^2)^2$$

を得、従って全表式を挙げれば

$$B = \alpha_m :$$

$$Z > 0 : \zeta/A = - \frac{1 - \tanh \sqrt{B}/\sqrt{B}}{\sigma^2 - 1 + \tanh \sqrt{B}/\sqrt{B}} \cdot e^{-aZ} \quad (8')$$

$$Z < 0 : \zeta/A = \zeta/A - 8 \sum_{n=1}^{\infty} \frac{\alpha_n/B}{(\alpha_n/B)^2 - 1} \frac{1}{\sigma^2 + \alpha_n(1-\sigma^2)^2} e^{\frac{\alpha_n}{B} aZ}$$

である。此處に \sum' は $n=m$ のみを総和から除外すべき事を示すものとする。

$\sigma^2 < 1$ の際には生ずる更に一つの可能性 $B = -\alpha_0$ にも就いて全く同様である。この際は $Z > 0$ に於ける ζ の計算中に double pole が現れ、この寄与(此の寄与が ζ の全部である)を求めて

$$B = -\alpha_0 :$$

$$Z > 0 : \zeta/A = e^{aZ} \left[1 + \frac{\sigma^2}{\Delta'} \left\{ \frac{1}{2} - \frac{\sigma^2}{\Delta'} - B(1-\sigma^2) + 2aZ \right\} \right] \quad (9)$$

$$\Delta' \equiv \sigma^2 - B(1-\sigma^2)^2$$

$$Z < 0 : \zeta/A = \frac{1 - \tanh \sqrt{B}/\sqrt{B}}{\sigma^2 - 1 + \tanh \sqrt{B}/\sqrt{B}} e^{aZ} - 2 \sum_{n=1}^{\infty} \frac{\alpha_n/B}{(\alpha_n/B)^2 - 1} \frac{1}{\sigma^2 + \alpha_n(1-\sigma^2)^2} e^{\frac{\alpha_n}{B} aZ}$$

が得られる

(8), (8'), (9) を見るに何れの項も無限大とならず, 又その総和が發散しない事も容易に知られる. 従つて粘性の存在に依つて計算漸進の異常が全く除かれる事を知るのである. 例として $\sigma^2 = 2.0$, $B = \alpha_1 (= 4.11587)$ の場合を (8), (8') を用いて計算し, 又 $\sigma^2 = 0.5$, $B = -\alpha_0 (= 3.66723)$ の場合を (9) を用いて計算した結果が, 既掲のオ八及びオ六表の甲の中に, 更にオ四及びオ二圖の甲の中に, 記入せられてゐる. 之等を見れば, 一見異常を亦有かに思はれる此等の場合が全然差異を現はさない事を了解し得るであらう.

最後に, [I 85] で見た右項中の最大のもの即ち慣性項の本主を見るに

$$u \frac{\partial u}{\partial x} / \frac{\partial u}{\partial t} = -w \sqrt{h} = (w/A \sqrt{h}) \cdot (A/h)$$

であるが, 右辺の第一因数はオ六, 七, 八表乙に掲げられた数値に異ならず, 即ち B が $10 \cdot B$ 至 $20 \cdot B$ 以下の値を採る時, $\sigma^2 = 1$ の際にも, 最大 1 の order である. 従つて B の此の範囲に於て

$$u \frac{\partial u}{\partial x} / \frac{\partial u}{\partial t} \sim A/h \quad (10)$$

であり, 前の例の如く $A = 40 \text{ mm Hg}$, $h = 27 \text{ m}$ とすれば $\sim 2 \times 10^{-2}$ となつて, 慣性項の省略を是認する結果となる.

換言すれば、完全流体としての取扱に於ては $\sigma^2=1$ の附近に於て右側出来なかつた慣性項が或程度の渦動粘性の存在に依つて有る程度の小量となるのである。それ故に大凡至るべき表の数值、従つて又 $\sigma=1$ 至る σ 四圍のグラフは、少くとも計算上は、充分に信用する事が出来るのである。

5.3. 定常随伴潮位の吟味(2). 速度の影響

定常の低気圧が一定速度で進行する時の随伴潮位の高低が、粘性の存在するとき、その進行速度に如何に影響せられるかを次に吟味し、速度は σ , B を毎 10^3 潮位に影響し、従つて (4), (5) から直ちにその有様を讀取る事が出来ない。それ故に $\sigma=1$ は一例を計算しその大略の様様を知る事とする。

用いた例は、一定速度 V が 0 から 50 を越へ更に大きい場合に及ぶものである。諸定数は $\sigma^2=0.5$ 即ち $V=0.70710$ に於て $B=4.000$ を與へる如きものを取り、すべての場合を通して一定に採られる。ある例へば

$$\left(\sigma^2=0.0\right), \left(\sigma^2=0.5\right), \left(\sigma^2=0.8\right), \left(\sigma^2=1.0\right), \left(\sigma^2=1.3\right)$$

$$(B=0.000), (B=4.000), (B=5.060), (B=5.657), (B=6.447)$$

の如き系列を得、 $\sigma=1$ は此の五つの場合を計算する。

0).

既に得られてゐる σ_m を (4), (5) に用ひて計算すれば良いので在つて、
簡單の爲 數式を省略して結果のみを示せば、表十表及び
沖五圖の如くである。(8)

沖五圖より明らかに見られる事は、 $V=0$ の場合を除き、低
氣圧は常に低潮を前面に、高潮を後方に伴つて進むこと
である。最低潮位は速度の増加と共に次第に中心に
近く且深いが、その深さは $V=c$ に於て極点に達し、更に速
度が薄すと共に浅く行つて行く。此の意味に於て $\sigma=1$ の場合
を Resonance と考へ得るであらうが、此の時の最高潮位が
反つて低い事は注目すべきである。即ち最高潮位は速度の
増加に依つて当初 各の位置並に高さを甚だしくは變化
せず静止低氣圧の吸エダと同 order であり、 V が c
に近づくに従つて次第に低く且後方に移行する。尚 $V \ll c$ の際
と $V \approx c$ の際とでは潮位の深さが格段に異なる事既に言及
した通りであるが、その間の移行を $\sigma^2=0.8$ の場合を通
じて明瞭に了解出来るであらう。此の移行が途中に於ては
潮位の山或は谷が峻い峯の形をとらず、且その位置が
低氣圧中心と一致しないのが顯著な特徴であつて、之に
就ては既に一言脚註に於て触れて置いた。

(8) 表、圖共に末尾に掲載

§ 4. 定常隨伴潮位の吟味(3). 氣圧の影響

此には進行する低氣圧自身の差異が潮位に及ぼす變化に移る。低氣圧の形を $Ae^{-\alpha|x|}$ とする時、その深さ $-A$ の影響は(4),(5)式に見る如く、潮位 ζ に直線的に働くから、例へば深さが2倍になれば、潮位はそのまゝの姿を以て、高低が倍加されるわけである。

低氣圧の傾度 α の影響は斯く簡單ではない。深さを一定として α を變化せしめた際は潮位に起る影響は、 α と B を通じて現れる。例へば α が2倍となれば、低氣圧はその幅が半減するが、それは亦いて潮位もその幅が半減するが、 α と B を通じて半分に減少すると共に、 B の値が倍加される事を通じてその半並に高低を變化し、此の後の影響は粘性が半減する効果と同等である。それ故に潮位の山 ($\sigma^2 < 1$ の場合) 或は谷 ($\sigma^2 > 1$ の場合) は、一般的に言つて、 α の増加につれて起る低氣圧傾度の増加と共にその急峻度を増しながら、山が高く或は谷が低くなる事を知るのである⁽⁹⁾。此處では數値例を省略して單に、 $\sigma^2 = 0.5, 1.0, 2.0$ の場合に就ては、一、二の例を六、七、八表甲の數値から直ちに構成し得ることを注意するに止める。

(9) 六表甲に於ける $B > 100$ の場合の例外参照

A, a が共に変化する場合に就いて一言しやう。特に $P(x)$ のグラフと x 軸との間に挟まれる面積⁽¹⁰⁾ が等しい場合に就いて見るに、之は $A/a \equiv -T$ (一定) を意味するから、 $A = -aT$ を (4), (5) のこに用ひながら a を変化せしめて見る。 S/aT に就ては先に a のみ変化せしめた際の結論がその際成立するのであるから、今の場合の潮位は、更にその上に a に直接比例する変化を受けし事となる。それ故同一のスケールの低気圧に於ける深さの若干の差異が高低潮の絶対高と傾度とに稍々大きくおと云ふ結果になるのである。例へば $\kappa^2 = 0.5$ の際 $B = 3.667 \sim 4.000$ の近傍に於ては第六表甲によつて、 a が $1 : \frac{4.000}{3.667}$ 即ち $1 : 1.09$ の変化が、山の高さに対しては、 $(1 : \frac{1.210}{1.161}) \times (1 : 1.09)$ 即ち $1 : 1.14$ の変化を生ずる事を知るのである。

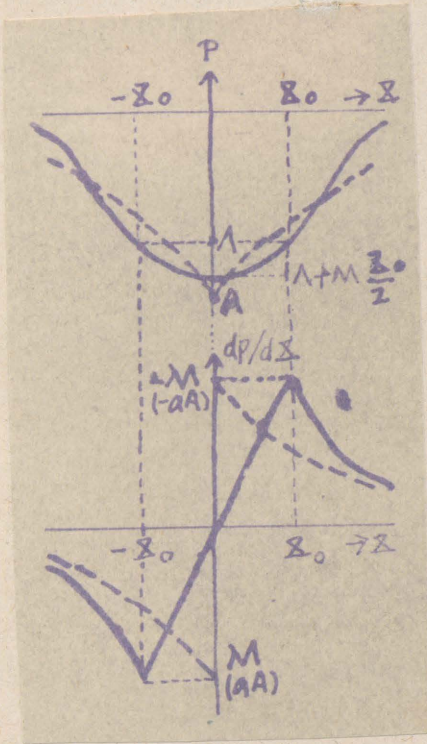
さて今迄は氣圧の形として、實際の低気圧と大略に於て類似しながらも、中心に尖った谷を持つ點に於て特異な形 $Ae^{-a|x|}$ を假定して来たのであるが、此の数学的尖氣の影響を調べて置く事が實際問題への適用に対して極めて重要である。故に更に此の氣圧型として

(10) 此の面積を以て假に低気圧の大小が表はされるものと見做し、スケールと呼稱する事とする。

$$P = \begin{cases} \Lambda e^{-\lambda(x-x_0)} & (x \geq x_0) \\ \Lambda + \frac{\lambda \Lambda}{2x_0} (x_0^2 - x^2) & (x_0 \geq x \geq -x_0) \\ \Lambda e^{\lambda(x+x_0)} & (x \leq -x_0) \end{cases} \quad (11)$$

を採用し、 x に添する λ を求める事とする。此の P は中心に對して對稱である以外に

$$\frac{dP}{dx} = \begin{cases} -\lambda \Lambda e^{-\lambda(x-x_0)} & (x \geq x_0) \\ -\lambda \Lambda \cdot \frac{x}{x_0} & (x_0 \geq x \geq -x_0) \\ \lambda \Lambda e^{\lambda(x+x_0)} & (x \leq -x_0) \end{cases} \quad (12)$$



から知られる如く、氣圧傾度
が連続的に變化し氣圧曲
線上に特異な点を持たぬと
云ふ意味に於て實際に近い
でもあらふ。(11) 尤因は先と今の
二つの低氣圧型の傾向を比
較する為の參考図である

両低氣圧型の λ を比較
し得る為には、同一の低氣圧を
表現した際には於ける兩型の
定数間に存在する關係を得

なければならぬが、此の關係は勿論一意的には決定

(11) 前後非對稱な低氣圧型を以下の計算に用いる事は容易である
ここには行はなぬ

14)

し、此處では次の二つの仮定を置く事とする

(A) $(\frac{dP}{dz})_{max}$ は両者に同一である

(B) 低氣圧のスケールは両者に同一である

即ち P の表式を求めるに際し此の二つの量に特別の荷重を置いて、實際低氣圧から、表式を構成せしむる意味である。之等の條件を用いると

$$\left. \begin{aligned} aA &= \lambda \Lambda \\ \Lambda/a &= \Lambda/\lambda + \Lambda z_0 + \frac{1}{3} \lambda \Lambda z_0^2 \end{aligned} \right\} \quad (13)$$

を得、 z_0 を實際低氣圧から讀取るものとして、一オの P が與へられれば他方の P を算出する事となる $\lambda = k/a$, $a z_0 \equiv \xi_0$ と置けば (13) は

$$A = k/\Lambda, \quad (1 - \xi_0^2/3)k^2 - \xi_0 k - 1 = 0 \quad (13')$$

となる。

一例を挙げる 空手颱風の氣圧図(オ-図)から大略

$$z_0 = 70/4 \text{ km}, \quad \lambda \Lambda = -\frac{3}{7} \frac{\text{mmHg}}{\text{km}}, \quad \Lambda + \frac{1}{2} \lambda \Lambda z_0 = -50 \frac{\text{mmHg}}{\text{km}} \quad (12)$$

の値を得、之から

$$z_0 = 17.5 \text{ km}, \quad \Lambda = -46.2 \text{ mmHg}, \quad \lambda = 0.0093 \text{ km}^{-1} \quad (1)$$

(12)

便宜上、實際低氣圧から讀取る際にのみ、(B) 條件を中心部深部におさかへる。

となる。故に条件式(13)を用いて

$$A = -50.05 \text{ mmHg}, a = 0.0086 \text{ km}^1 \dots\dots (ii)$$

既に [I § 5] に於て用いた値は

$$A = -50.00 \text{ mmHg}, a = 0.0060 \text{ km}^1 \dots\dots (iii)$$

を左つて、(ii)と(iii)の間にはかなりの開きがあるけれども、此の開きは近似法の着眼点の相違に基いて起るので、何れが正しいかを言ふ事が出来ない。次の第十一表は (i), (ii), (iii) を用いて計算した P と $\frac{\partial P}{\partial t}$ との値であつて⁽¹³⁾ 比較的才一図に纏めて記入して置いた。

第十一表

X (km)	0.00	-8.75	-17.5	-26.25	-35.00	-40.00	-105.	-140	-210	-280	-350
t (hour)	11.00	11.07	11.15	11.22	11.30	12.00	12.30	13.00	14.00	15.00	16.00
P	(i) -50.0	-49.1	-46.2	-42.6	-39.2	-28.3	-20.5	-14.8	-9.7	-4.0	-2.1
(mmHg)	(ii) -50.05	-46.4	-43.0	-39.9	-37.0	-27.4	-20.3	-15.0	-8.2	-4.5	-2.5
	(iii) -50.0	-	-45.0	-	-40.6	-32.9	-26.7	-21.6	-14.2	-9.3	-6.1
$\frac{\partial P}{\partial t}$	(i) 0.0	15.0	30.0	27.7	25.5	18.4	13.3	9.6	5.0	2.6	1.4
(mmHg/hour)	(ii) 30.0	27.8	25.8	23.9	22.2	16.4	12.1	9.0	4.9	2.7	1.5
	(iii) 21.0	-	18.9	-	17.0	13.8	11.2	9.1	6.0	3.9	2.6

さてこの計算に移らう、計算が簡単であると云ふ理由で $\sigma^2 = 1.0$ の際を取扱ふ事とする。[I (26')] に依つて

$$\zeta(X) = \frac{1}{2\pi} \int_{-\infty}^{\infty} \left\{ \frac{1}{i\alpha} \left(\frac{\sqrt{i\alpha\gamma}}{\tan \sqrt{i\alpha\gamma}} - 1 \right) \right\} \{i\alpha P\} e^{i\alpha X} d\alpha$$

であるが、 $\zeta = \zeta'$ - Fourier 変換 に関する iteration の定理。

(13) $\frac{\partial P}{\partial t} = -V \frac{\partial P}{\partial X}$ であるので、 $V = 70 \text{ km/hour}$ が用いられた尚数値は中心の両側に対称又は対称であるから、表中には片側のみを掲げて置いた。

$$\frac{1}{2\pi} \int_{-\infty}^{\infty} \bar{f}(\alpha) \bar{g}(\alpha) e^{i\alpha x} d\alpha = \int_{-\infty}^{\infty} g(x-\gamma) d\gamma f(\gamma)$$

を用ひる事として⁽¹⁴⁾

$$\bar{f} \equiv i\alpha \bar{p} \quad \text{i.e. } f(x) = d^p/dx$$

$$\bar{g} \equiv \frac{1}{i\alpha} \left(\frac{\sqrt{i\alpha\gamma}}{\tan \sqrt{i\alpha\gamma}} - 1 \right) \quad \text{i.e. } g(x) = \frac{1}{2\pi} \int_{-\infty}^{\infty} \frac{1}{i\alpha} \left(\frac{\sqrt{i\alpha\gamma}}{\tan \sqrt{i\alpha\gamma}} - 1 \right) e^{i\alpha x} d\alpha \quad (14)$$

と置けば

$$\zeta(x) = \int_{-\infty}^{\infty} g(x-\gamma) d\gamma f(\gamma) \quad (15)$$

漸位が計算せられる。g(x)は容易に見出され

$$g(x) = \begin{cases} 0 & (x > 0) \\ -2 \sum_{n=1}^{\infty} e^{\frac{\pi^2}{8} a x n^2} & (x < 0) \end{cases} \quad (16)$$

従つて (12) を (15) に取入れて $\zeta(x)$ を求める⁽¹⁵⁾。此の際 $\lambda = R\Lambda$ とし、尚 $a x \equiv \xi$, $a \gamma \equiv \eta$ と記号すれば

(1) $x \geq x_0$ (i.e. $\xi \geq \xi_0$):

$$\begin{aligned} \zeta/A &= -2 \sum_{n=1}^{\infty} \int_{\xi_0}^{\infty} e^{n^2 \frac{\pi^2}{8} (\xi - \eta)} \frac{d\eta}{a} \left\{ -ka\Lambda e^{-R(\eta - \xi_0)} / A \right\} \\ &= \frac{1}{R} e^{-R(\xi - \xi_0)} \left\{ 1 - \frac{\sqrt{RB}}{\tanh \sqrt{RB}} \right\} \quad (17) \end{aligned}$$

$$\bar{f}(\alpha) = \int_{-\infty}^{\infty} f(\gamma) e^{i\alpha\gamma} d\gamma; \quad \bar{g}(\alpha) = \int_{-\infty}^{\infty} g(\gamma) e^{i\alpha\gamma} d\gamma.$$

(17) 中の $A e^{-a|x|}$ を採用すれば、 $\cot z = z^{-1} + \sum_{n=1}^{\infty} 2z/(z^2 - \pi^2 n^2)^{-1}$ の公式を用ひて

(18) が容易に出て来る。此の時この展開式は下の (17), (19) を導く際にも利用せらる。

(B) $x_0 \geq x \geq -x_0$ (i.e. $\xi_0 \geq \xi \geq -\xi_0$):

$$\zeta/A = -2 \sum_{n=1}^{\infty} \left[\int_{\xi}^{\xi_0} e^{n^2 \frac{\pi^2}{B} (\xi - \eta)} \frac{d\eta}{a} \left\{ -ka\Lambda \frac{\eta}{\xi} / -A \right\} + \int_{-\xi_0}^{\xi} e^{n^2 \frac{\pi^2}{B} (\xi - \eta)} \frac{d\eta}{a} \left\{ -ka\Lambda e^{-k(\eta - \xi_0)} / -A \right\} \right]$$

$$= \frac{2}{\xi_0} \left\{ \frac{\xi_0 B}{\pi^2} \bar{\omega}_1 \left(\frac{\pi^2}{B} \frac{\xi_0 - \xi}{\xi_0} \right) - \frac{\xi B}{\delta} + \frac{B^2}{\pi^4} \bar{\omega}_2 \left(\frac{\pi^2}{B} \frac{\xi_0 - \xi}{\xi_0} \right) - \frac{B^2}{90} \right\} - \frac{2B}{\pi^2} W \left(\frac{\pi^2}{B} \frac{\xi_0 - \xi}{\xi_0}; \frac{kB}{\pi^2} \right) \quad (18)$$

(C) $x \leq -x_0$ (i.e. $\xi \leq -\xi_0$):

$$\zeta/A = -2 \sum_{n=1}^{\infty} \left[\int_{\xi}^{-\xi_0} e^{n^2 \frac{\pi^2}{B} (\xi - \eta)} \frac{d\eta}{a} \left\{ ka\Lambda a^{k(\eta + \xi_0)} / -A \right\} + \int_{-\xi_0}^{\xi} e^{n^2 \frac{\pi^2}{B} (\xi - \eta)} \frac{d\eta}{a} \left\{ -ka\Lambda \frac{\eta}{\xi_0} / -A \right\} + \int_{\xi}^{\infty} e^{n^2 \frac{\pi^2}{B} (\xi - \eta)} \frac{d\eta}{a} \left\{ -ka\Lambda e^{-k(\eta - \xi)} / -A \right\} \right]$$

$$= -\frac{2B}{\pi^2} W \left(-\frac{\pi^2}{B} \frac{\xi_0 + \xi}{\xi_0}; -\frac{kB}{\pi} \right) + \frac{1}{R} e^{k(\xi_0 + \xi)} \left\{ 1 - \sqrt{RB} / \tan \sqrt{RB} \right\}$$

$$+ \frac{2}{\xi_0} \left[\frac{\xi_0 B}{\pi^2} \left\{ \bar{\omega}_1 \left(\frac{\pi^2}{B} \frac{\xi_0 - \xi}{\xi_0} \right) + \bar{\omega}_1 \left(-\frac{\pi^2}{B} \frac{\xi_0 + \xi}{\xi_0} \right) \right\} + \frac{B^2}{\pi^4} \left\{ \bar{\omega}_2 \left(\frac{\pi^2}{B} \frac{\xi_0 - \xi}{\xi_0} \right) - \bar{\omega}_2 \left(\frac{\pi^2}{B} \frac{\xi_0 + \xi}{\xi_0} \right) \right\} \right]$$

$$- \frac{2B}{\pi^2} W \left(\frac{\pi^2}{B} \frac{\xi_0 - \xi}{\xi_0}; \frac{kB}{\pi^2} \right) \quad (19)$$

となる。 ω_1, ω_2, W は

$$\omega_1(x) = \sum_{n=1}^{\infty} e^{-n^2 x / \pi^2}; \quad \omega_2(x) = \sum_{n=1}^{\infty} e^{-n^2 x / \pi^4}; \quad W(x; c) = \sum_{n=1}^{\infty} e^{-n^2 x / (n^2 + c)} \quad (20)$$

と定義せられる函数を示してゐる。

以上で計算式が得られたから、数値も取入れて、三の場合を計算結果⁽¹⁶⁾尚局の値としては4.0を採用する。条件式(13')に依つてRが定まり、次の諸常数が得られる。

(16) 先に與へた例では $x_0 = 17.5 \text{ km}$, $a = 0.0086 \text{ km}^2$ であるから $\xi_0 = 0.15$ となる。

$$\xi_0 = 0.1 : k = 1.0531, \pi^2/B = 2.4674, kB/\pi^2 = 0.42681$$

$$\xi_0 = 0.2 : k = 1.1132, \pi^2/B = 2.4674, kB/\pi^2 = 0.45118$$

之等の定数を用ひて、先づ上にて定義した諸函数を、変数の種々の値に対して計算すれば、次表となる。諸定数と此の数表を(17)、(18)、(19)に用ひて S/A が算出せられるのであるが、此處では中

第十二表

y	$\omega_1(\frac{\pi^2 y}{B})$	$\omega_2(\frac{\pi^2 y}{B})$	$W(\frac{\pi^2 y}{B}; \frac{KB}{\pi^2})$		$W(\frac{\pi^2 y}{B}; -\frac{KB}{\pi^2})$	
			$\xi_0 = 0.1$	$\xi_0 = 0.2$	$\xi_0 = 0.1$	$\xi_0 = 0.2$
0.025	1.235	0.999	0.932	—	—	—
0.05	1.084	0.927	0.803	0.792	1.762	1.833
0.1	0.888	0.806	0.644	0.636	1.481	1.543
0.15	0.752	0.705	0.540	—	—	—
0.2	0.647	0.619	0.460	0.453	1.106	1.153
0.25	0.561	0.545	0.397	—	—	—
0.3	0.490	0.480	0.346	0.341	0.847	0.884
0.4	0.378	0.375	0.266	0.261	0.657	0.684
0.45	0.333	0.330	—	0.230	—	—
0.5	0.294	0.292	0.205	0.203	0.510	—
0.6	0.229	0.228	0.160	0.155	—	—
0.7	0.178	0.178	0.125	0.123	—	—
0.8	0.139	0.138	—	0.096	—	—

途の算式を省略し結果のみを掲げる事としやう。第十三表が即ち之であつて、之がグラフは第三回内を示されてゐる。

此の結果から見れば、最低潮位置を決定するのは dP/dx の極大位置であつて、此の両者が殆ど一致してゐる事を注目すべきである。(此の一致が、 σ が小さい側から1に接近する際に生

れる事は既に見たとするが、斯る場合はむしろ例外的と見做すべきであらう。此の性質を一般的と見做して、

第十三表

$a \Delta (\xi)$	$\xi_0 = 0.2$	$\xi_0 = 0.1$	$\xi_0 = 0^{(17)}$
-0.7	—	—	0.606
-0.6	0.700	0.655	—
-0.5	0.685	0.639	—
-0.4	0.634	0.600	0.553
-0.3	0.518	0.511	—
-0.25	0.418	—	—
-0.2	0.266	0.366	0.325
-0.15	—	0.195	—
-0.1	-0.202	-0.037	0.043
-0.05	—	-0.401	-0.220
0.0	-0.604	-0.710	-1.075
0.05	—	-0.950	-1.022
0.075	—	-1.028	—
0.1	-0.917	-1.065	-0.972
0.15	-1.018	—	—
0.2	-1.054	-0.958	-0.880
0.4	-0.845	-0.776	-0.720
0.7	-0.604	-0.566	-0.534

実際の気圧計記録から最低潮位置を決定する事も可能であらう。潮位そのものに就ては、 $dP/d\xi$ の極大値が等しい限り、用各同一である事を之等の計算結果は示してゐる以外に、全体としての潮位の落は、低気圧を表現する数式には、其等が略々相似なる限りは於

て、あまり影響せられないものと結論に誤らなものであらう。
(1946-7-20)

(17) 既掲表七表甲の $\sigma^2 = 1.0$, $B = 4$ の場合を比較の爲更に掲げる

第六表甲 $\zeta_A (\sigma^2=0.5)$

X	1.000	3.66723	4.000	16.000	100.000	625.000	∞
-10.0	0.000		0.000 (0.000)	0.000 (0.000)	0.012 (0.000)	0.016 (0.000)	0.000
-7.0	0.001		0.001 (0.001)	0.003 (0.002)	0.025 (0.002)	0.024 (0.002)	0.002
-5.0	0.004		0.009 (0.008)	0.018 (0.011)	0.050 (0.013)	0.042 (0.013)	0.014
-4.0	0.010		0.024 (0.021)	0.046 (0.031)	0.085 (0.036)	0.071 (0.036)	0.036
-3.0	0.026	0.063	0.065 (0.057)	0.120 (0.084)	0.166 (0.097)	0.142 (0.099)	0.100
-2.0	0.071	0.170	0.178 (0.155)	0.305 (0.228)	0.358 (0.263)	0.324 (0.267)	0.270
-1.5	0.118	0.280	0.293 (0.255)	0.486 (0.376)	0.546 (0.433)	0.506 (0.444)	0.446
-1.0	0.174	0.461	0.482 (0.420)	0.768 (0.620)	0.847 (0.714)	0.801 (0.732)	0.736
-0.7	0.262	0.621	0.649 (0.568)	1.008 (0.836)	1.107 (0.964)	1.062 (0.988)	0.994
-0.4	0.353	0.830	0.866 (0.766)	1.315 (1.129)	1.450 (1.302)	1.410 (1.334)	1.340
-0.2	0.431	0.997	1.039 (0.936)	1.564 (1.399)	1.737 (1.590)	1.705 (1.630)	1.638
-0.1	0.474	1.084	1.129 (1.034)	1.700 (1.524)	1.898 (1.757)	1.876 (1.801)	1.810
-0.05	0.493	1.126	1.173 (1.087)	1.770 (1.602)	1.985 (1.847)	1.967 (1.893)	1.902
0.0	0.502	1.161	1.210 (1.143)	1.838 (1.684)	2.074 (1.942)	2.057 (1.990)	2.000
0.05	0.310	0.990	1.042 (1.005)	1.704 (1.571)	1.964 (1.841)	1.957 (1.893)	1.902
0.1	0.155	0.833	0.887 (0.877)	1.578 (1.464)	1.861 (1.746)	1.860 (1.799)	1.810
0.2	-0.067	0.557	0.606 (0.648)	1.346 (1.267)	1.667 (1.569)	1.681 (1.626)	1.638
0.4	-0.285	0.155	0.186 (0.283)	0.951 (0.929)	1.335 (1.263)	1.371 (1.323)	1.340
0.7	-0.344	-0.250	-0.222 (-0.084)	0.500 (0.541)	0.945 (0.906)	1.008 (0.979)	0.994
1.0	-0.299	-0.456	-0.424 (-0.296)	0.180 (0.261)	0.658 (0.642)	0.740 (0.720)	0.736
1.5	-0.198	-0.544	-0.549 (-0.441)	-0.154 (-0.038)	0.335 (0.345)	0.438 (0.429)	0.446
2.0	-0.122	-0.492	-0.511 (-0.447)	-0.328 (-0.201)	0.141 (0.166)	0.254 (0.253)	0.270
3.0	-0.045	-0.301	-0.329 (-0.324)	-0.435 (-0.320)	-0.046 (-0.007)	0.076 (0.081)	0.100
4.0	-0.017		-0.178 (-0.195)	-0.409 (-0.322)	-0.171 (-0.069)	0.010 (0.018)	0.036
5.0	-0.006		-0.087 (-0.107)	-0.349 (-0.288)	-0.132 (-0.089)	-0.013 (-0.005)	0.014
7.0	-0.001		-0.018 (-0.029)	-0.230 (-0.207)	-0.134 (-0.095)	-0.025 (-0.017)	0.002
10.0	-0.000		-0.002 (-0.003)	-0.117 (-0.119)	-0.122 (-0.089)	-0.027 (-0.018)	0.000

(同 龙)

第七表甲 ζ/A ($\sigma^2=1.0$)

$\alpha \backslash B$	0.729	4.000	7.29	16.000	∞
-10.0		0.000 (0.000)		0.008 (2.000)	
-7.0		0.002 (0.001)		0.051 (0.005)	
-5.0	0.002	0.013 (0.009)	0.04	0.166 (0.036)	
-4.0	0.005	0.035 (0.024)	0.09	0.292 (0.098)	
-3.0	0.013	0.094 (0.066)	0.22	0.502 (0.266)	
-2.0	0.034	0.245 (0.180)	0.48	0.814 (0.422)	
-1.5	0.057	0.380 (0.298)	0.65	0.982 (1.190)	
-1.0	0.094	0.540 (0.491)	0.80	1.079 (1.962)	
-0.7	0.126	0.606 (0.662)	0.83	1.007 (2.148)	
-0.4	0.169	0.553 (0.894)	0.66	0.654 (3.575)	
-0.2	0.189	0.325 (1.092)	0.30	0.010 (4.367)	
-0.1	0.155	0.043 (1.208)	-0.11	0.656 (4.826)	
-0.05	0.089	-0.220 (1.268)	-0.47	-1.237 (5.073)	∞ (∞)
0.0	-0.228	-1.075 (± 1.333)	-1.71	-3.003 (± 5.333)	
0.05	-0.217	-1.022 (-1.268)	-1.63	-2.856 (-5.073)	
0.1	-0.206	-0.972 (-1.206)	-1.55	-2.717 (-4.826)	
0.2	-0.187	-0.880 (-1.092)	-1.38	-2.458 (-4.367)	
0.4	-0.153	-0.720 (-0.894)	-1.14	-2.013 (-3.575)	
0.7	-0.113	-0.534 (-0.662)	-0.85	-1.491 (-2.648)	
1.0	-0.084	-0.395 (-0.491)	-0.63	-1.105 (-1.962)	
1.5	-0.049	-0.240 (-0.298)	-0.38	-0.690 (-1.190)	
2.0	-0.031	-0.145 (-0.180)	-0.23	-0.406 (-0.422)	
3.0	-0.011	-0.054 (-0.066)	-0.09	-0.150 (-0.266)	
4.0	-0.004	-0.020 (-0.024)	-0.03	-0.055 (-0.098)	
5.0	-0.002	-0.007 (-0.009)	-0.01	-0.020 (-0.036)	
7.0		-0.001 (-0.001)		-0.003 (-0.005)	
10.0		-0.000 (-0.000)		-0.000 (-0.000)	

表乙

$\sigma^2 = 2.0, B = 4$

1.0	0.0000	0.0000	0.0000	0.0000	0.0000	0.0000	0.0000	0.0000	0.0000
0.98	—	—	—	—	—	—	—	—	—
0.95	0.0005	0.0022	0.0022	0.0022	0.0022	0.0022	0.0022	0.0022	0.0005
0.9	0.0010	0.0018	0.0018	0.0016	0.0016	0.0017	0.0017	0.0017	0.0002
0.85	—	—	—	—	—	—	—	—	—
0.8	0.0019	0.0016	0.0016	0.0053	0.0053	0.0053	0.0053	0.0053	0.0003
0.7	0.0029	0.0039	0.0039	0.008	0.008	0.008	0.008	0.008	0.0003
0.6	0.0037	0.0069	0.0069	0.0190	0.0190	0.0190	0.0190	0.0190	0.0006
0.4	0.0052	0.0136	0.0136	0.0294	0.0294	0.0294	0.0294	0.0294	0.0008
0.2	0.0061	0.0189	0.0189	0.0381	0.0381	0.0381	0.0381	0.0381	0.0008
0.0	0.0064	0.0208	0.0208	0.0410	0.0410	0.0410	0.0410	0.0410	0.0009

表乙

$\sigma^2 = 1.0, B = 4$

1.0	0.0000	0.0000	0.0000	0.0000	0.0000	0.0000	0.0000	0.0000	0.0000
0.98	—	—	—	—	—	—	—	—	—
0.95	—	—	—	—	—	—	—	—	—
0.9	0.008	0.0147	0.0147	0.026	0.026	0.026	0.026	0.026	0.0004
0.85	—	—	—	—	—	—	—	—	—
0.8	0.016	0.0283	0.0283	0.044	0.044	0.044	0.044	0.044	0.0010
0.7	0.024	0.049	0.049	0.055	0.055	0.055	0.055	0.055	0.0016
0.6	0.031	0.0515	0.0515	0.059	0.059	0.059	0.059	0.059	0.0020
0.4	0.045	0.085	0.085	0.056	0.056	0.056	0.056	0.056	0.0025
0.2	0.054	0.108	0.108	0.049	0.049	0.049	0.049	0.049	0.0027
0.0	0.057	0.108	0.108	0.045	0.045	0.045	0.045	0.045	0.0028

表乙

$\sigma^2 = 0.5, B = 16$

1.0	0.0000	0.0000	0.0000	0.0000	0.0000	0.0000	0.0000	0.0000	0.0000
0.95	0.0005	0.0044	0.0044	0.0207	0.0207	0.0207	0.0207	0.0207	0.0008
0.9	0.0008	0.0099	0.0099	0.037	0.037	0.037	0.037	0.037	0.0013
0.8	0.0006	0.0287	0.0287	0.075	0.075	0.075	0.075	0.075	0.0020
0.7	0.0003	0.0497	0.0497	0.126	0.126	0.126	0.126	0.126	0.0029
0.6	0.0019	0.0692	0.0692	0.1540	0.1540	0.1540	0.1540	0.1540	0.0040
0.4	0.0062	0.1022	0.1022	0.1822	0.1822	0.1822	0.1822	0.1822	0.0051
0.2	0.0101	0.1214	0.1214	0.1904	0.1904	0.1904	0.1904	0.1904	0.0059
0.0	0.0116	0.1250	0.1250	0.1920	0.1920	0.1920	0.1920	0.1920	0.0059

表

表甲 S/A ($\sigma^2=2.0$)

B ΔX	1,000	4,000	4,11587	16,000	100,000	625,000	∞
-10.0	0.000	0.000 (0.000)		0.028 (0.020)	0.043 (0.066)	0.023 (0.017)	-0.000
-7.0	0.000	0.004 (0.002)		0.057 (0.062)	0.056 (0.073)	0.028 (0.017)	-0.001
-5.0	0.002	0.019 (0.012)		0.096 (0.123)	0.067 (0.082)	0.027 (0.011)	-0.007
-4.0	0.004	0.040 (0.031)		0.118 (0.165)	0.069 (0.095)	0.024 (0.008)	-0.018
-3.0	0.011	0.080 (0.073)	0.080	0.135 (0.204)	0.057 (0.048)	0.000 (-0.032)	-0.050
-2.0	0.024	0.136 (0.151)	0.138	0.123 (0.196)	0.002 (-0.037)	-0.073 (-0.118)	-0.135
-1.5	0.048	0.156 (0.193)	0.154	0.034 (0.140)	-0.066 (-0.127)	-0.153 (-0.206)	-0.223
-1.0	0.075	0.136 (0.200)	0.134	-0.004 (0.011)	-0.170 (-0.278)	-0.240 (-0.352)	-0.368
-0.7	0.089	0.085 (0.156)	0.082	-0.100 (-0.124)	-0.307 (-0.413)	-0.414 (-0.482)	-0.497
-0.4	0.081	-0.019 (0.024)	-0.024	-0.249 (-0.321)	-0.474 (-0.596)	-0.585 (-0.658)	-0.670
-0.2	0.030	-0.142 (-0.141)	-0.147	-0.373 (-0.500)	-0.623 (-0.752)	-0.734 (-0.808)	-0.819
-0.1	-0.028	-0.227 (-0.256)	-0.235	-0.485 (-0.607)	-0.714 (-0.843)	-0.821 (-0.894)	-0.905
-0.05	-0.042	-0.282 (-0.324)	-0.295	-0.538 (-0.666)	-0.764 (-0.892)	-0.868 (-0.941)	-0.951
0.0	-0.135	-0.350 (-0.400)	-0.355	-0.600 (-0.727)	-0.818 (-0.943)	-0.923 (-0.990)	-1.000
0.05	-0.127	-0.332 (-0.380)	-0.338	-0.571 (-0.692)	-0.778 (-0.897)	-0.878 (-0.942)	-0.951
0.1	-0.122	-0.316 (-0.362)	-0.321	-0.543 (-0.658)	-0.740 (-0.854)	-0.835 (-0.896)	-0.905
0.2	-0.111	-0.286 (-0.327)	-0.291	-0.491 (-0.595)	-0.670 (-0.772)	-0.756 (-0.811)	-0.870
0.4	-0.074	-0.234 (-0.268)	-0.238	-0.402 (-0.488)	-0.548 (-0.632)	-0.617 (-0.664)	-0.670
0.7	-0.067	-0.174 (-0.199)	-0.176	-0.298 (-0.361)	-0.406 (-0.468)	-0.458 (-0.492)	-0.477
1.0	-0.050	-0.129 (-0.147)	-0.131	-0.221 (-0.268)	-0.301 (-0.347)	-0.340 (-0.364)	-0.368
1.5	-0.030	-0.078 (-0.089)	-0.079	-0.134 (-0.162)	-0.183 (-0.211)	-0.206 (-0.221)	-0.223
2.0	-0.018	-0.047 (-0.054)	-0.048	-0.081 (-0.098)	-0.111 (-0.128)	-0.125 (-0.134)	-0.135
3.0	-0.007	-0.017 (-0.020)	-0.018	-0.030 (-0.036)	-0.041 (-0.047)	-0.046 (-0.049)	-0.050
4.0	-0.003	-0.006 (-0.007)		-0.011 (-0.013)	-0.015 (-0.017)	-0.017 (-0.018)	-0.018
5.0	-0.001	-0.002 (-0.003)		-0.004 (-0.005)	-0.006 (-0.006)	-0.006 (-0.007)	-0.007
7.0	-0.000	-0.000 (-0.000)		-0.001 (-0.001)	-0.001 (-0.001)	-0.001 (-0.001)	-0.001
10.0	-0.000	-0.000 (-0.000)		-0.000 (-0.000)	-0.000 (-0.000)	-0.000 (-0.000)	-0.000

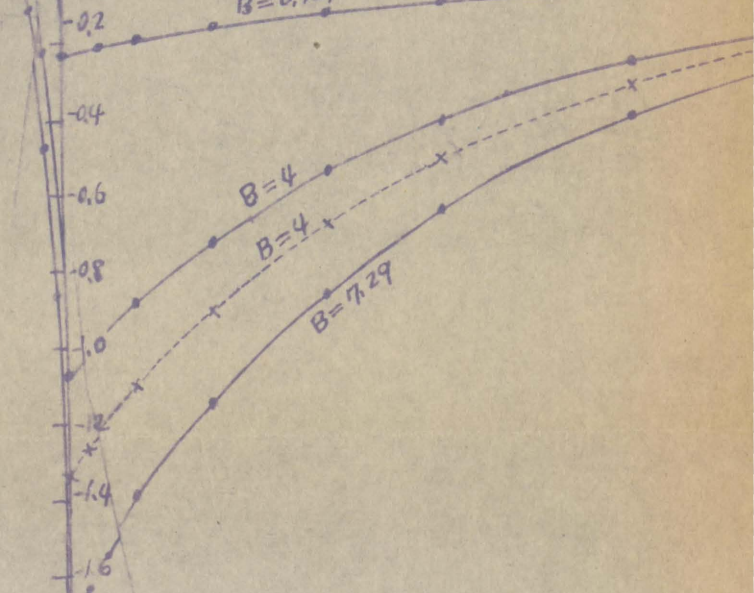
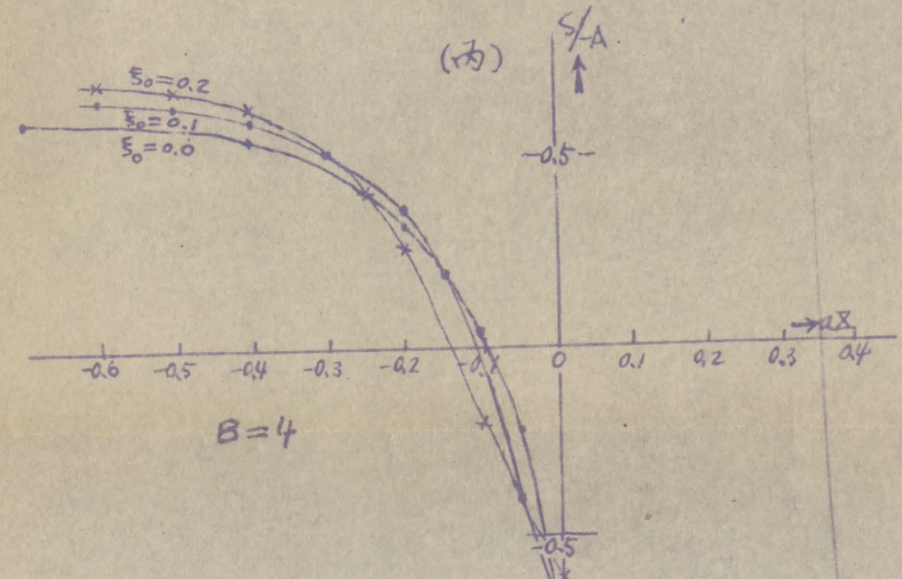
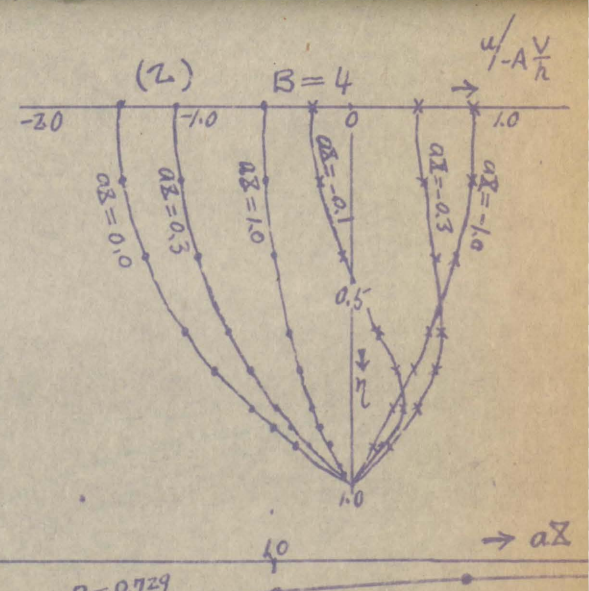
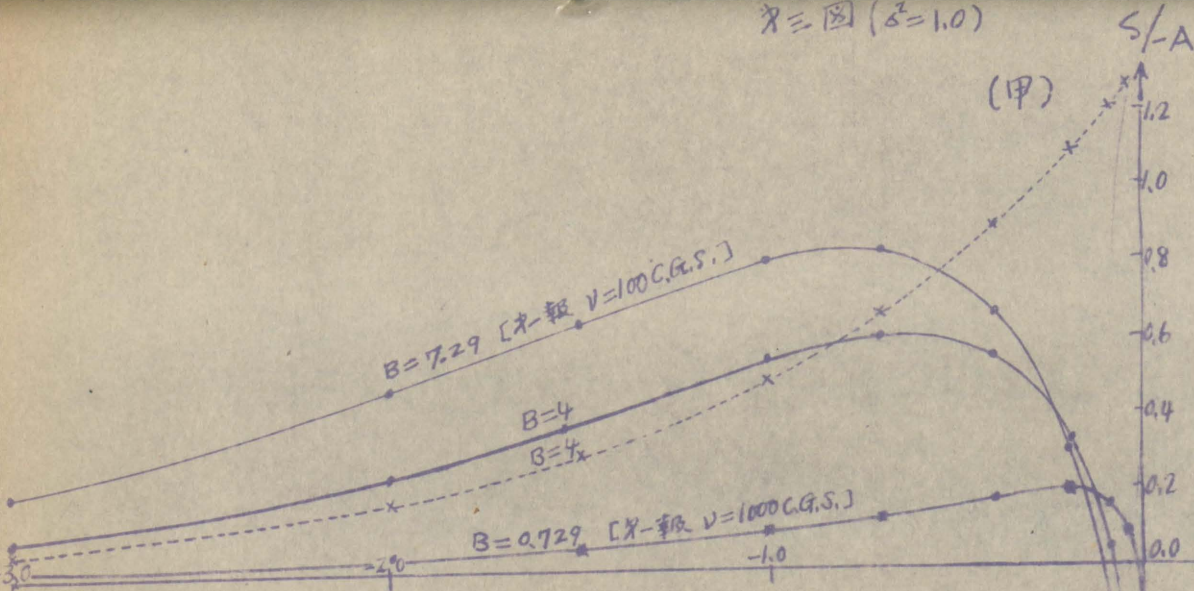
(同
左)

第十表 S/A

$a \bar{X}$	$\sigma^2=0, B=0.000$	$\sigma^2=0.5, B=4.000$	$\sigma^2=0.8, B=5.060$	$\sigma^2=1.0, B=5.657$	$\sigma^2=1.3, B=6.449$
-3.0	0.050	0.065 (0.057)	0.103 (0.074)	0.156	0.193 (0.153)
-2.0	0.135	0.178 (0.155)	0.277 (0.207)	0.368	0.324 (0.366)
-1.5	0.223	0.293 (0.255)	0.448 (0.331)	0.529	0.371 (0.519)
-1.0	0.368	0.482 (0.420)	0.705 (0.546)	0.686	0.347 (0.623)
-0.7	0.497	0.649 (0.568)	0.898 (0.736)	0.720	0.247 (0.560)
-0.4	0.670	0.866 (0.766)	1.082 (0.994)	0.612	0.015 (0.241)
-0.2	0.819	1.039 (0.936)	1.147 (1.214)	0.289	-0.285 (-0.245)
-0.1	0.905	1.127 (1.034)	1.123 (1.342)	-0.068	-0.519 (-0.617)
0.0	1.000	1.210 (1.143)	0.844 (1.483)	-1.420	-0.887 (-1.105)
0.05	0.951	1.042 (1.005)	0.250 (1.087)	-1.351	-0.844 (-1.051)
0.1	0.905	0.887 (0.877)	-0.195 (0.747)	-1.285	-0.803 (-1.000)
0.2	0.819	0.606 (0.648)	-0.761 (0.207)	-1.163	-0.726 (-0.905)
0.4	0.670	0.186 (0.283)	-1.163 (-0.458)	-0.952	-0.595 (-0.741)
0.7	0.497	-0.222 (-0.284)	-1.093 (-0.835)	-0.705	-0.441 (-0.547)
1.0	0.368	-0.424 (-0.296)	-0.863 (-0.863)	-0.522	-0.326 (-0.407)
1.5	0.223	-0.549 (-0.441)	-0.535 (-0.667)	-0.317	-0.198 (-0.247)
2.0	0.135	-0.511 (-0.447)	-0.326 (-0.449)	-0.192	-0.120 (-0.150)
3.0	0.050	-0.327 (-0.324)	-0.120 (-0.177)	-0.071	-0.044 (-0.055)

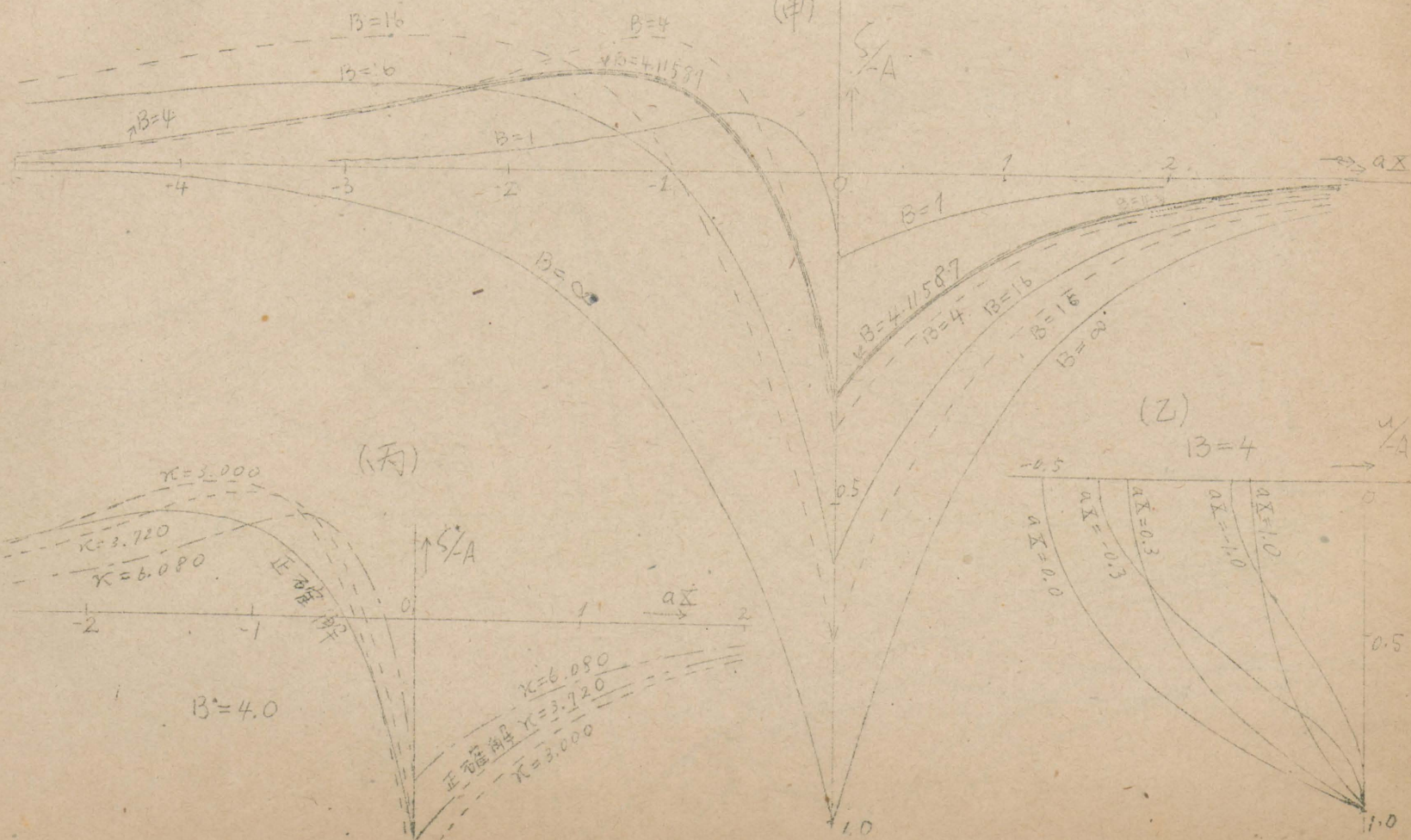
1647

$\delta = 1.0$



第四圖 ($\sigma^2=2$)

(甲)



第五圖

